



بیست و یکمین کنفرانس اپتیک و فوتونیک ایران
و هفتمین کنفرانس مهندسی و فناوری فوتونیک ایران
۲۳ تا ۲۵ دی ماه ۱۳۹۳، دانشگاه شهید بهشتی



بررسی اثر دما روی شدت بازتابی کاواک فیبری تداخل سنج فابری- پرو مبتنی بر تار نوری بلور فوتونی

فاطمه شهشهانی، معصومه میرخندان

گروه فیزیک، دانشگاه الزهرا(س)، تهران

چکیده - در این مقاله، اثر دما روی شدت بازتابی کاواک فیبری فابری- پرو مبتنی بر ساختار بلور فوتونی به طور تئوری بررسی شده است. مدل سازی بر اساس برهم نهی دو مد مختلف و وابستگی توان بازتابی فیبر نوری به دما انجام شده است. محاسبات عددی نشان می دهد دو مد با طول موج $1/5$ و $1/6$ میکرومتر در بازه 25 تا 235 درجه سانتی گراد بیشترین حساسیت را به دما نشان می دهد.

کلید واژه- تار بلور فوتونی، تداخل سنج فابری- پرو، حسگر دما، فیبر نوری.

Analysis of Temperature Effect on the Reflected Optical Intensity of Fabry-Perot Interferometer Based on the Photonic Crystal fiber

Fateme Shahshahani, Masome Mirkhandan

Department of Physics, Alzahra University, Tehran, Iran

Abstract- In this paper, the operation of Fabry-Perot optical fiber based on photonic crystal structure considering the temperature variations is theoretically analyzed. Modeling has been done on basis of the superposition of two modes with different wavelengths and the temperature dependence of reflected optical intensity. Numerical calculations show that the superposition of two modes with wavelengths $1.5 \mu\text{m}$ and $1.6 \mu\text{m}$, has the most temperature sensitivity in the range of 25°C to 235°C .

Keywords: photonic crystal fiber, Fabry-Perot interferometer, temperature sensor, fiber optic.

۱- مقدمه

استفاده از تارهای بلور فوتونی به علت حجم کم، قابلیت شبکه‌سازی، تاثیرناپذیری از میدان‌های الکترومغناطیسی، مقاومت در برابر خوردگی با مواد شیمیایی و قابلیت اندازه‌گیری از راه دور، در مخابرات نوری و صنایع مختلف روز به روز بیشتر مورد توجه قرار می‌گیرد. این تارها، برخلاف فیبرهای معمولی، فقط از یک ماده ساخته شده‌اند. همچنین، تنوع مؤلفه‌های هندسی تارهای بلور فوتونی مانند اندازه و فاصله حفره‌ها، موجب انعطاف بیشتر آنها در طراحی المان‌های فیبری می‌شود [۱].

سنجش دقیق ضریب شکست، دما، فشار و حسگرهای تعیین نوع گاز، بوسیله ساختارهای فیبر نوری مبتنی بر بلور فوتونی، این نوع حسگر را از حسگرهای دیگر متمایز ساخته است. حسگرهای فیبر نوری، معمولاً بر مبنای تداخل سنجی یا فیبر توری براگ^۱ طراحی می‌شوند [۲-۳].

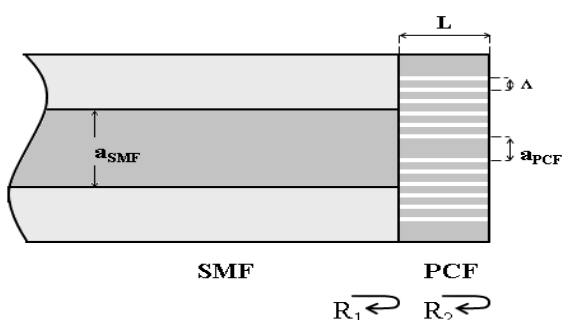
سازوکار حسگر فیبر نوری می‌تواند بر اساس هر یک از مؤلفه‌های شدت، بسامد، قطبش و یا فاز نور بازتابی باشد. حسگرهایی که بر مبنای شدت موج کار می‌کنند، از امتیازاتی مانند روش استفاده آسان و قیمت پایین نیز برخوردارند [۴].

در این مقاله، اثر دما روی شدت نور بازتابی از یک فیبر نوری بلور فوتونی که در انتهای یک فیبر نوری تک‌مد استاندارد (SMF^۲) قرار گرفته، بررسی شده است. شبیه سازی با استفاده از نرم‌افزار MATLAB انجام شده است. در بخش دوم مقاله مبانی نظری بطور مختصر ذکر شده، در بخش سه به بررسی نتایج عددی پرداخته شده است. در بخش آخر نتیجه‌گیری پژوهش ارائه شده است.

۲- مبانی نظری

در شکل ۱ طرح ساده‌ای از تار بلور فوتونی شبیه‌سازی شده در این پژوهش نشان داده شده است.^۳ تار بلور فوتونی از جنس سیلیکا و طول آن برابر ۰/۵ mm، ثابت

شبکه ۲ μm و شعاع هسته‌ی جامد آن $\frac{2}{\sqrt{3}} \mu\text{m}$ است. همچنین، فیبر تک‌مد، هسته‌ای از جنس سیلیکا و شعاعی برابر با شعاع هسته‌ی جامد تار بلور فوتونی، $\frac{2}{\sqrt{3}} \mu\text{m}$ داراست. روزنه عددی فیبر تک‌مد ۰/۲ در نظر گرفته شده است. ضریب شکست و ضریب انبساط خطی سیلیکا به ترتیب ۱/۴۵۷۵ [۳] و $2/\delta\text{nm}/^\circ\text{C}$ انتخاب شده‌اند. تغییرات دمایی ضریب شکست نیز $1/19 \times 10^{-6}/^\circ\text{C}$ است [۵].



شکل ۱: ساختار فابری-پرو استفاده شده در شبیه‌سازی. a_{SMF} شعاع فیبر تک‌مد، a_{PCF} شعاع هسته جامد تار بلور فوتونی، L طول PCF، Λ ثابت شبکه، n_1 ضریب بازتاب سطح جداکننده فیبر تک‌مد و تار بلور فوتونی و n_2 ضریب بازتاب دیواره‌ی انتهایی تار بلور فوتونی است.

برای محاسبه‌ی ضریب شکست مؤثر غلاف تار بلور فوتونی، n_{FSM} روش ضریب شکست مؤثر^۴ شبیه‌سازی شده و شعاع مؤثر هر سلول واحد از رابطه‌ی $r = \sqrt{\frac{\sqrt{3}}{2\pi}} \Lambda$ بدست آمده است [۶]. همچنین ضریب شکست مؤثر کل فیبر تک‌مد و تار بلور فوتونی با بدست آوردن مد مجاز منتشر شده در آنها محاسبه می‌شود^۵ [۷].

جدول ۱: ضرایب شکست فیبر تک‌مد و تار بلور فوتونی برای هر یک از طول موج‌های تداخلی با در نظر گرفتن نسبت قطر حفره به فاصله حفره‌ها، d/Λ . ستون دوم ضریب شکست مؤثر فیبر تک‌مد (n_{SMF}). ستون سوم ضریب شکست مؤثر غلاف تار بلور فوتونی (n_{FSM}) و ستون چهارم ضریب شکست مؤثر تار بلور فوتونی (n_{PCF}) است.

$d/\Lambda=0.5$	n_{SMF}	n_{FSM}	n_{PCF}
$\lambda_1=1.3 \mu\text{m}$	1.4448	1.4189	1.4332
$\lambda_3=1.5 \mu\text{m}$	1.4442	1.4124	1.4272
$d/\Lambda=0.6$			
$\lambda_2=1.4 \mu\text{m}$	1.4444	1.3946	1.4249
$\lambda_3=1.5 \mu\text{m}$	1.4442	1.3899	1.4210

^۱ Fiber Brag Grating

^۲ Single Mode Fiber

^۳ این ساختار در مرجع (۳) برای ساخت حسگری بر مبنای درصد بازتاب فابری-پرو پیشنهاد و ساخته شده است.

^۴ Effective index of the Fundamental Space-filling Mode

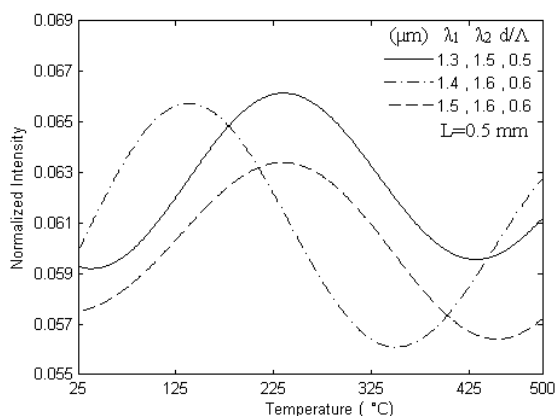
^۵ Effective Index Method

^۶ برای مطالعه دقیق روش محاسبه به مرجع ۶ و ۷ مراجعه شود.

$\lambda_4=1.6 \mu\text{m}$	1.4440	1.3855	1.4171
-----------------------------	--------	--------	--------

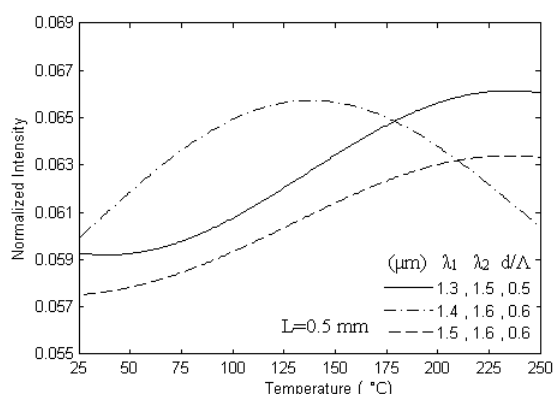
های $1/3 \mu\text{m}$ ، $1/4 \mu\text{m}$ ، $1/5 \mu\text{m}$ و $1/6 \mu\text{m}$ در تار نوری بلور فوتونی که نسبت‌های d/Λ آن‌ها برابر $0/5$ و $0/6$ در نظر گرفته شده، در بازه دمایی $25-500$ درجه سانتیگراد نشان داده شده است.

همانطور که در شکل ۲ مشاهده می‌شود، تغییرات شدت بهنجار موج بازتابی از PCF نسبت به دما رفتار سینوسی دارد. برای بهتر مشخص شدن قسمت خطی نمودارها، در شکل ۳ بازه‌ی دمایی به 250°C کاهش داده شده است.



شکل ۲: شدت موج تداخلی بازتابی بهنجار بر حسب دما ($25^\circ\text{C}-500^\circ\text{C}$)

از شکل ۳ می‌توان دریافت که برهم‌نهی دو طول موج $1/3 \mu\text{m}$ و $1/5 \mu\text{m}$ با $d/\Lambda=0/5$ و برهم‌نهی طول موج‌های $1/5 \mu\text{m}$ و $1/6 \mu\text{m}$ با $d/\Lambda=0/6$ در بازه $25-250$ درجه سانتیگراد تغییرات خطی دارند. بازه دمایی تغییرات خطی شدت بهنجار برای برهم‌نهی دو طول موج $1/4 \mu\text{m}$ و $1/6 \mu\text{m}$ با $d/\Lambda=0/6$ در محدوده $125-250$ درجه سانتیگراد قرار می‌گیرد.



شکل ۳: شدت موج بازتابی تداخلی بهنجار بر حسب دما ($250^\circ\text{C}-25^\circ\text{C}$)

در شکل ۴ شیب تغییرات شدت بهنجار بر حسب دما $(K=dI/dT \text{ } ^\circ\text{C}^{-1})$ نشان داده شده است. کمیت شیب در

محل اتصال دو فیبر، به‌طور طبیعی مانند آینه عمل می‌کند، اما فقط بخشی از نور بازتاب می‌گردد. ضریب بازتاب سطح جداکننده فیبر تک مد و تار بلور فوتونی، R_1 و دیواره‌ی انتهایی تار بلور فوتونی، R_2 ، (شکل ۱) با استفاده از معادلات فرنل محاسبه می‌شوند.

$$R_1 = \frac{(n_{SMF} - n_{PCF})^2}{(n_{SMF} + n_{PCF})^2} \quad (1)$$

$$R_2 = \frac{(n_{PCF} - n_{air})^2}{(n_{PCF} + n_{air})^2} \quad (2)$$

که در آن n_{air} ضریب شکست هوا و برابر ۱ است $[\lambda]$. شدت بازتابی کل تداخل‌سنج فابری-پرو که در این مقاله تار بلور فوتونی است، از رابطه‌ی زیر بدست می‌آید:

$$\frac{I}{I_0} = \frac{R_1 + R_2 + 2\sqrt{R_1 R_2} \cos \Phi}{1 + R_1 R_2 + 2\sqrt{R_1 R_2} \cos \Phi} \quad (3)$$

که در آن Φ ، تغییرات فاز در تداخل‌سنج، نیز برابر است با [۹]

$$\Phi = \frac{4\pi n_{PCF} L}{\lambda_i} \quad (4)$$

در اثر افزایش دما سیلیکا منبسط شده و طول تار بلور فوتونی افزایش می‌یابد. ضریب شکست موثر تار بلور فوتونی نیز با ضریب $1/19 \times 10^{-6} / ^\circ\text{C}$ بیشتر خواهد شد. در نتیجه تغییرات فاز در تداخل‌سنج تغییر کرده و شدت موج تداخلی بازتابی، در رابطه ۳، تابعی از دما خواهد بود.

۳- بررسی نتایج عددی

ضریب شکست مؤثر ساختار بلور فوتونی با استفاده از روش ضریب شکست مؤثر برای نسبت‌های $d/\Lambda=0/5$ و $d/\Lambda=0/6$ محاسبه و در جدول ۱ درج شده است. طبق محاسبات، وابستگی دمایی ضریب شکست موثر فقط به مقدار $0/001$ واحد تغییر ایجاد می‌کند، که قابل چشم‌پوشی است. در شکل ۲ تغییرات شدت بهنجار موج بازتابی حاصل از برهم‌نهی دو تایی مدهای مختلف با طول موج-

وسیع تری از دما تغییرات دارد.

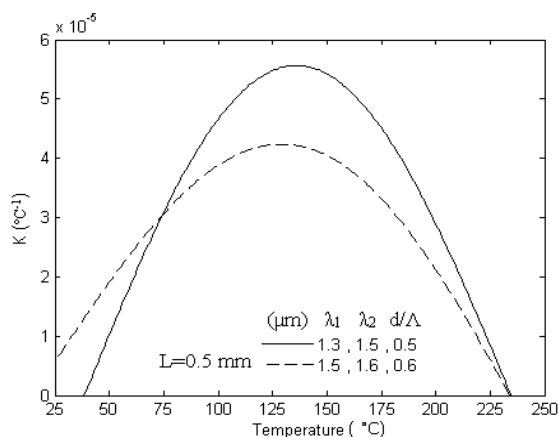
۴- نتیجه گیری

تغییرات شدت بهنجار موج بازتابی از یک تار نوری بلور فوتونی، حاصل از برهم نهی دوبه دوی مدهای مختلف با طول موجهای $1/3\mu\text{m}$ ، $1/4\mu\text{m}$ ، $1/5\mu\text{m}$ و $1/6\mu\text{m}$ بر حسب دما، بررسی شد. نتایج بدست آمده نشان داد که فیبر بلور فوتونی به ازای برهم نهی دو طول موج $\lambda_1=1/5\mu\text{m}$ و $\lambda_2=1/6\mu\text{m}$ در بازه دمایی 25°C تا 235°C ضمن ایجاد بیشترین تغییرات شدت در موج بازتابی، بزرگترین بازه دمایی را به طور یک به یک پوشش می دهد.

مراجع

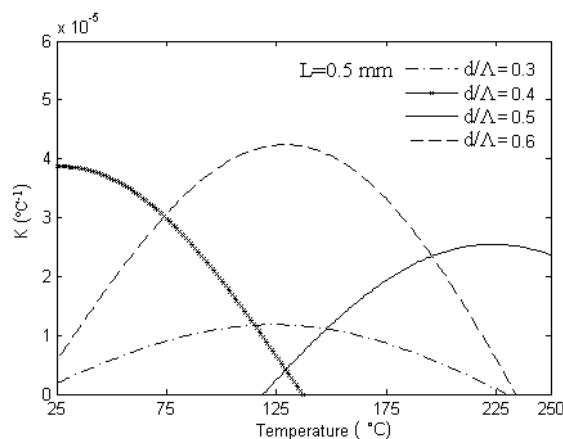
- [1] Wang R., Yao J., Miao Y., Lu Y., Xu D., Luan N., Musideke M., Duan L., and Hao C., *A reflective photonic crystal fiber temperature sensor probe based on infiltration with liquid mixtures*, **Sensors**, vol. 13, no. 6 (2013) 7916–25.
- [2] Harun S. W., Yasin M., Rahman H. A., Arof H., *Fiber Optic Temperature Sensors*, www.INTECHopen.com (2008).
- [3] Ding W., and Jiang Y., *Miniature Photonic Crystal Fiber Sensor for High-Temperature Measurement*, **IEEE Sensors Journal**, vol. 14, no. 3 (2014) 786–789.
- [4] Annamdas V., *Review on Developments in Fiber Optical Sensors and Applications*, vol. 1, no. 1 (2012) 1–16.
- [5] Laouar R., Colby E., England J., Noble R., *Measurement of thermal dependencies of PBG fiber properties*, Conf.Proc. C110328, **SLAC-PUB, Stanford Uni**, (2011) 1343-1345.
- [6] Li Y. F., Wang C. Y., Wang Z. H., Hu M. L., and Chai L., *Solution of the fundamental space filling mode of photonic crystal fibers: numerical method versus analytical approaches*, **Applied Physics B**, vol. 85, no. 4 (2006) 597-601.
- [7] Mitschke F., *Fiber Optics*, p. 35, Springer, 2009.
- [8] Tsai W. and Lin C., *A Novel Structure for the Intrinsic Fabry – Perot Fiber-Optic Temperature Sensor*, **IEEE journal of lightwave technology**, vol. 19, no. 5 (2001) 682–686.
- [9] Thompson B. J., *Fiber Optic Sensors*, p. 37, CRC, 2008.

اینجا نشان دهنده حساسیت دمایی شدت موج بازتابی به دما است. همانطور که مشاهده می شود بیشترین حساسیت، در بیشینه منحنی روی می دهد. نقطه صفر این نمودارها نیز بیان کننده عدم تغییر شدت نسبت به دما است.



شکل ۴: حساسیت دمایی شدت موج تداخلی بازتابی بهنجار بر حسب دما

با توجه به شکل های ۳ و ۴، می توان نتیجه گرفت که شدت بهنجار حاصل از برهم نهی طول موجهای $\lambda_1=1/3\mu\text{m}$ و $\lambda_2=1/5\mu\text{m}$ با $d/L=0/5$ حسگر دمایی مناسبی برای دمای کمتر از 50°C در حالیکه فیبر نوری بلور فوتونی با دو طول موج $\lambda_1=1/5\mu\text{m}$ و $\lambda_2=1/6\mu\text{m}$ با $d/L=0/6$ حساسیت دمایی کمتری از خود نشان می دهد.



شکل ۵: شدت موج تداخلی بازتابی بهنجار بر حسب دما با نسبت های مختلف d/L

تغییرات ضریب حساسیت دمایی، K ، به دما برای دو طول موج $\lambda_1=1/5\mu\text{m}$ و $\lambda_2=1/6\mu\text{m}$ به ازای نسبت های مختلف d/L ، در شکل ۵ نشان داده شده است. همانطور که مشاهده می شود ضریب K به ازای $d/L=0/6$ در بازه ی